

## 碎波帯における浮遊砂の観測(Ⅱ)

慶應大学工学部 正員 中福 誠  
慶應大学工学部 正員 神沼忠男  
日立造船(株) 正員 宮原 重

### 1. はじめに

従来、現地観測においてはボンプ式探水、Sand trapなどにより浮遊砂と捕砂し浮遊砂濃度の特性を調べてきただが、底質式波によって説明される流れによって浮遊されることを考えれば、より精度の良い測定法が必要となる。本研究は、慶應基海海岸を対象とし、平均水深 2.0 m および 1.7 m の地点で、1983 年と 1984 年の冬期季節風時に 2 台の測定可能な電磁誘導型流速計 3 台(内 1 台圧力計内蔵)、散乱光式渦度計によって得た流速、圧力変動および浮遊砂濃度の記録とともに碎波帯における浮遊砂濃度について基礎的資料を得ようとしたものである。

1983年：流速計のセンサは海底から 7, 65, 98 cm の高さにあり、岸冲一鉛直方向、岸冲一沿岸方向の流速を測定し、渦度計は海底から 4 cm、圧力計は 72 cm の高さにある。

1984年：流速計のセンサは海底から 21, 45, 75 cm の高さにあり、岸冲一鉛直方向、岸冲一沿岸方向、岸冲方向の流速を測定し、渦度計は海底から 34 cm、圧力計は 49 cm の高さにある。

### 2. 観測結果

海岸ヒル碎波型式は spilling 型である。

浮遊砂濃度と岸冲方向流速のパワースペクトル、コヒーレンシー、位相差

浮遊砂濃度のパワースペクトルは風波のピーク周波数附近(4 sec程度)に僅かなピークを示すものの他の周波数域(15 ~ 60 sec)に入るとパワーを有し、その勾配は風波のピーク周波数より他の周波数で周波数の -0.5 ~ 1 来、高周波数側で周波数の -1 ~ -3.5 来に比例する。この勾配は、岸冲方向の流速と圧力変動が碎波の発生頻度が高いほどその勾配を小さくするに付して、発生頻度に關係なく一定である。

図-2は海底から 34 cm の高さの浮遊砂濃度と 31 cm の高さの岸冲方向流速のパワースペクトル、コヒーレンシー、位相差を示したものである。

浮遊砂濃度の経時変化と岸冲方向流速、浮遊砂濃度の物理スペクトル

図-3は、海底から 4 cm の高さで得た浮遊砂濃度の経時変化と海底から 7 cm の高さで得た岸冲方向流速の物理スペクトルを示す。浮遊砂濃度の経時変化(図中最も下段)をみると断続的に高い波を生じ、その時間間隔は 40 ~ 60 sec 程度である。物理スペクトルはより風波のピーク周波数の 1/4 周波数帶、

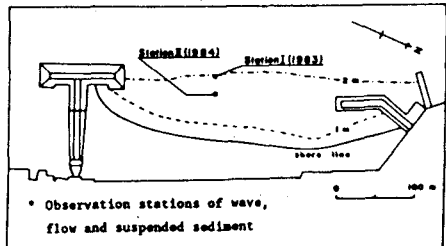


図-1 観測地点

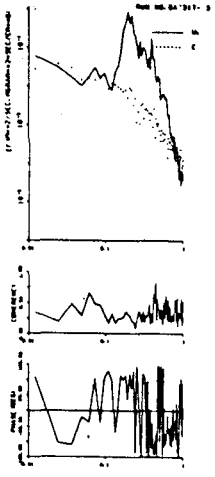
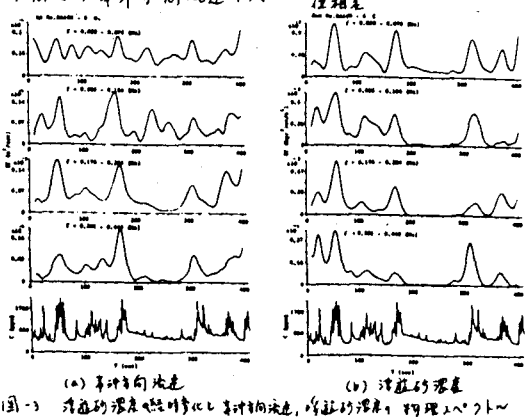


図-2 浮遊砂濃度、岸冲方向流速  
パワースペクトル、コヒーレンシー、位相差



(a) 岸冲方向流速 (b) 浮遊砂濃度  
浮遊砂濃度の経時変化と岸冲方向流速、浮遊砂濃度の物理スペクトル

1/12 周波数帯、1倍周波数帯、2倍周波数帯のモードであるが、こうした物理スペクトルと浮遊砂濃度の経時変化をみると比較的よく対応している。岸冲方向流速の物理スペクトルは風波のビーグ周波数帯、工事による一密度が最も大きく、次に1/4周波数帯が約1/5程度、他の周波数帯は1/10程度である。こうしたことから、40~60 sec周波で生ずる高い浮遊砂濃度は施設建設域や風波のビーグ周波数付近の岸冲方向流速に因縁しているようである。

浮遊砂濃度の物理スペクトルをみると、工事による一密度が最も大きい周波数帯は1/4周波数帯、次に風波のビーグ周波数帯と1/2周波数帯で約1/10程度、2倍周波数帯は1/20程度である。

浮遊砂濃度の最高値と岸冲方向流速の最大値との位相差

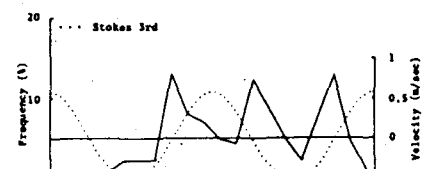
図-4は、ゼロ・アップ・クロス法によつて1波ごとに岸冲方向流速が最大となる位相を基準にしてその位相と浮遊砂濃度が最高となる位相の差の確率分布を示したものであり、図中には有義波高、有義周期から有限振幅理論を用いて求めた岸冲方向の流速波形を点線で示してある。これらの図をみると、碎波の発生頻度が他の場合より高い場合とも、 $-(\pi/10)$ π, π/2, (3/2)πのところで高い値を示すことがわかる。有限振幅理論によると流速波形と比較すると、碎波の発生頻度が他の場合ではπ/2, (3/2)πの流向が沖から岸、岸から沖へ変わることから、まずはむち岸冲方向流速が0になるところであり、 $-(\pi/10)$ πはπ/5だけ遅い。碎波の発生頻度が高い場合にはすべてπ/10遅いところに似る。

### 浮遊漂砂量

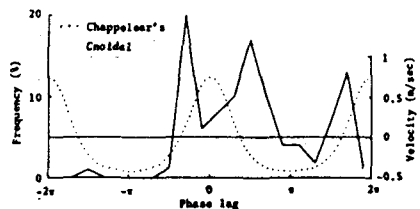
図-5は、海底から1 cmの高さの岸冲-沿岸方向流速と4 cmの高さの浮遊砂濃度から算出した浮遊漂砂量のスキャッタリング図を示す。この図をみると、浮遊漂砂量は主方向(正向スペクトル)から算出した風波の卓越方向)からの反射方向に卓越し、碎波の発生頻度が高くなると反射方向に沿つて沖向きに浮遊砂の輸送が割合で大きくなることがわかる。

### 浮遊砂濃度と高周波数成分

高周波数成分分解法によつて、流速と浮遊砂濃度の高周波数成分を抽出し、Xの関係を調べた。浮遊砂濃度と高周波数成分  $C'$  (高周波数成分分解法における遮断周波数: 風波のスペクトルビーグ周波数の3倍周波数、0.75 Hz程度)の root mean square と時間平均浮遊砂濃度との正の相関がある。 $| -\bar{C'U} |$  ( $U$ : 岸冲方向流速の高周波数成分) は  $\sqrt{C'^2} \cdot \sqrt{U^2}$  と正の相関がある。 $| -\bar{C'w} |$  ( $w'$ : 鋼直方向流速の高周波数成分) も  $\sqrt{C'^2} \cdot \sqrt{w'^2}$  と正の相関があり、Xの大きさは  $| -\bar{C'U} |$  の1/10程度である。

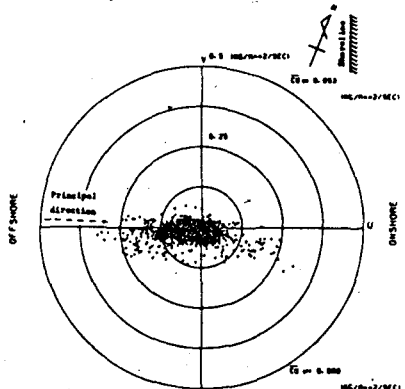


(a) 碎波の発生頻度: 低

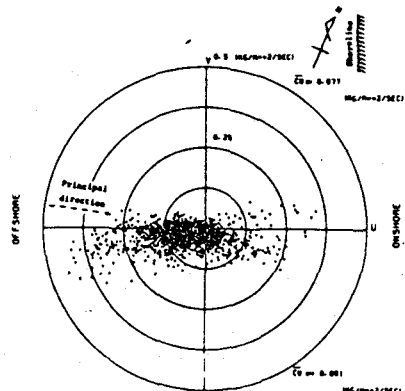


(b) 碎波の発生頻度: 高

図-4 浮遊砂濃度の最高値と岸冲方向流速の最大値との位相差の確率分布と流速波形



(a) 碎波の発生頻度: 低



(b) 碎波の発生頻度: 高

図-5 浮遊漂砂量のスキャッタリング図